Laboratorium EMVO Sp. J. Urbański, Pawelak
ul. Jasna 1
00-013 Warszawa

tel. +48 22 780 29 64
e-mail: laboratorium@emvo.pl

AB 1630

Sprawozdanie z pomiarów pól elektromagnetycznych - środowisko nr 11/12/OŚ/2023 – ELT



Nr i nazwa stacji	**BT44697_MORENA_MICROCEL**	
Adres	**80-900 Gdańsk, ul. Clr Gdańsk, ul. Migowska 15, woj. pomorskie**	
Opracowanie	**Martyna Karczmarczyk**	**Specjalista ds. pomiarów**
Autoryzacja	**Andrzej Urbański**	**Kierownik Laboratorium**
Podpis	Podpis jest prawidłowy Dokument podpisany przez Andrzej Urbański; Laboratorium EMVO Data: 2023.12.28 22:19:13 CET	
Data	**2023-12-21**	

„Bez pisemnej zgody Laboratorium niniejsze sprawozdanie nie może być powielane inaczej, jak tylko w całości. Ponadto wyniki dotyczą tylko badanych obiektów przywołanych w niniejszym sprawozdaniu z badań”

Spis treści

1. Informacje ogólne.....3
2. Podstawa prawna. 3
3. Opis pomiarów.....3
4. Zróżnicowanie dopuszczalne poziomy pól elektromagnetycznych. 5
5. Charakterystyka źródeł PEM.....5
6. Wyniki pomiarów.....5
7. Stwierdzenie zgodności 6
8. Oświadczenie. 8
9. Spis załączników. 8

„Bez pisemnej zgody Laboratorium niniejsze sprawozdanie nie może być powielane inaczej, jak tylko w całości. Ponadto wyniki dotyczą tylko badanych obiektów przywołanych w niniejszym sprawozdaniu z badań”

1. Informacje ogólne.

Zleceniodawca	**Axians Networks Poland Sp. z o.o.** ul. Annopol 4a, 03-236 Warszawa Osoba udzielająca informacji – Piotr Miliszkiewicz
Istotne informacje dostarczone przez klienta	komplet informacji niezbędnych do wykonania pomiarów i opracowania sprawozdania
Dane otrzymane od klienta mogące mieć wpływ na ważność wyników	Dane anten sektorowych, dane anten radioliniowych, parametry pracy instalacji, poprawka pomiarowa, ustawienie pochylenia anten
Prowadzący instalację	**TOWERLINK POLAND SP. z.o.o.,** ul. Kasprzaka 4, 01-211 Warszawa
Lokalizacja obiektu	80-900 Gdańsk, ul. Clr Gdańsk, ul. Migowska 15, woj. pomorskie
Miejsce instalacji anten	Wieża kratowa
Miejsce instalacji urządzeń	Outdoor
Osoby wykonujące pomiar	Roman Murawski
Data wykonania pomiaru	21.12.2023
Temperatura na początku pomiaru [°C]	2,0
Temperatura na koniec pomiaru [°C]	2,0
Warunki atmosferyczne	Brak opadów
Wilgotność na początku pomiaru [%]	79,0
Wilgotność na koniec pomiaru [%]	88,0
Godzina na początku pomiaru	11:47
Godzina na koniec pomiaru	14:26
Inne źródła pól elektromagnetycznych oznaczone na załączniku graficznym	Występują
Parametry pracy instalacji	Tryb eksploatacyjny

2. Podstawa prawna.

2.1 Normy i rozporządzenia:

- Ustawa z dnia 27 kwietnia 2001 r. Prawo Ochrony Środowiska (Dz. U. z 2022 r., poz 2556 z późn. zm.)
- Rozporządzenia Ministra Zdrowia z dnia 17 grudnia 2019 r. w sprawie dopuszczalnych poziomów pól elektromagnetycznych w środowisku (Dz. U. z 2019 r., poz. 2448),
- Rozporządzenie Ministra Klimatu z dnia 17.02.2020 r. w sprawie sposobów sprawdzania dotrzymania dopuszczalnych poziomów pól elektromagnetycznych w środowisku (Dz. U. z 2022 r., poz. 2630).

3. Opis pomiarów

Metodologia pomiarowa	Pomiary w oparciu o Rozporządzenie Ministra Klimatu z dnia 17 lutego 2020 r. w sprawie sposobów sprawdzania dotrzymania dopuszczalnych poziomów pól elektromagnetycznych w środowisku (Dz.U. 2022 poz. 2630).
Cel badań	Określenie wartości natężenia pola elektrycznego w miejscach dostępnych dla ludności.
Opis zestawu pomiarowego	Miernik Narda NBM 520, Sonda EF 9091, o zakresie pomiarowym 0,7 V/m - 400V/m pracująca w paśmie 0,1 – 90 GHz, świadectwo wydane przez Laboratorium Wzorców i Metrologii Pola Elektromagnetycznego, Instytut Telekomunikacji, Teleinformatyki i Akustyki Politechniki Wrocławskiej. Świadectwo ważne do 08.08.2025, numer świadectwa: LWiMP/W/318/23. Miernik Narda NBM 520, Sonda EF 9091 pracująca w zakresie temperatury -10°C - +50°C oraz wilgotności 5% - 95%. Niepewność rozszerzona 59,4% przy poziomie ufności 95% z uwzględnieniem współczynnika rozszerzenia k=2.
Wyposażenie pomocnicze	Termohigrometr Termoprodukt, typ: Termik+, Nr. inwentarzowy 44/WL, nr identyfikacyjny 1540619, świadectwo wzorcowania nr 0393/AH/20 z dn. 02.03.2020 r. wydane przez Laboratorium Pomiarowe "MUTECH". Dalmierz laserowy BOSH GLM 40, Nr. inwentarzowy 47/WL, nr seryjny 909411542, Świadectwo wzorcowania L4-L41.4180.29.2020.784.1 z dnia 02 czerwca 2020 wydane przez Pracownia Długości Samodzielnego Laboratorium Długości w Głównym Urzędzie Miar. GPS Garmin 64s okresowo sprawdzany w punktach osnowy geodezyjnej klasy 3 na podstawie licencji punktu, zgodnie z procedurą sprawdzeń okresowych IS/PO16-11/03.
Pomiary zostały wykonane	1. na głównych i pomocniczych kierunkach pomiarowych, na kierunkach zbliżonych do azymutów anten oraz w dodatkowych pionach pomiarowych zgodnie z wymaganiami pkt 12, 13, 14 i 19 Rozporządzenia Ministra Klimatu z dnia 17 lutego 2020 r. (Dz.U. 2022 poz. 2630). Wybór i lokalizacja pionów pomiarowych, w tym znajdujących się wewnątrz lokali, zostały ustalone zgodnie z procedurą laboratorium nr PP-7.3/7.4/7.5-11, z uwzględnieniem: rodzaju badanej instalacji (w tym parametrów technicznych instalacji), lokalizacji badanej instalacji, ukształtowania terenu wokół badanej instalacji. 2. na obszarze pomiarowym, dla którego, na podstawie uprzednio przeprowadzonych obliczeń stwierdzono w miejscach dostępnych dla ludności występowanie pól elektromagnetycznych o najwyższym poziomie, które pochodzą z badanej instalacji zgodnie z wymaganiami pkt 5 ppkt 2 oraz pkt 13 ppkt 1 Rozporządzenia Ministra Klimatu z dnia 17 lutego 2020 r. w sprawie sposobów sprawdzania dotrzymania dopuszczalnych poziomów pól elektromagnetycznych w środowisku (Dz.U. 2022 poz. 2630). Wyniki obliczeń nie uwzględniały parametrów pracy instalacji innych operatorów występujących na obiekcie bądź w obszarze pomiarowym. 3. w miejscach dostępnych dla ludności. 4. miejsca niedostępne podczas wykonywania pomiarów wskazane zostały w pkt 6 (tabeli wyniki pomiarów) 5. w dodatkowych pionach pomiarowych w lokalach oraz na balkonach i tarasach, na których mogą przebywać ludzie, po poinformowaniu o planowanych pomiarach z minimum 3-dniowym wyprzedzeniem i po umożliwieniu dostępu do lokalu, balkonu lub tarasu przez jego dysponenta lub bez zachowania terminu wskazanego w pierwszej części zdania za zgodą dysponenta przestrzeni pomiarowej.

„Bez pisemnej zgody Laboratorium niniejsze sprawozdanie nie może być powielane inaczej, jak tylko w całości. Ponadto wyniki dotyczą tylko badanych obiektów przywołanych w niniejszym sprawozdaniu z badań”

Sposób powiadamiania dysponentów	Zgodnie z pkt 14 Rozporządzenia Ministra Klimatu z dnia 17 lutego 2020 r. w sprawie sposobów sprawdzania dotrzymania dopuszczalnych poziomów pól elektromagnetycznych w środowisku (Dz.U. 2022 poz. 2630). poinformowano dysponentów lokali o planowanych pomiarach. Informacji dokonano między innymi poprzez: 1. bloki mieszkalne – zawiadomienie spółdzielni mieszkaniowej, zarządcy nieruchomości, zarządu wspólnoty, umieszczenie informacji o planowanych pomiarach na tablicach ogłoszeń w klatkach schodowych bloków lub na drzwiach wejściowych, 2. biurowce, budynki użyteczności publicznej itp. - przekazanie zawiadomienia do administracji lub recepcji obiektu, 3. domy jednorodzinne, szeregowce itp.- pozostawienie informacji w skrzynkach pocztowych itp. lub przekazanie osobiste.
Warunki pracy urządzeń nadawczych	Tryb pracy eksploatacyjny.

4. Zróżnicowanie dopuszczalne poziomy pól elektromagnetycznych.

Zakresy znajdują się w Dzienniku Ustaw z dnia 17 grudnia 2019 r. przestawione są w tabeli nr 2 (Dz. U. z 2019r. poz. 2448).

Parametr fizyczny / Zakres Częstotliwości pola elektromagnetycznego	Składowa elektryczna E (V/m)	Składowa magnetyczna H (A/m)	Gęstość mocy S (W/m2)
od 400 MHz do 2000 MHz	$1{,}375 \times f^{0{,}5}$	$0{,}0037 \times f^{0{,}5}$	f / 200
od 2 GHz do 300 GHz	61	0,16	10

5. Charakterystyka źródeł PEM.

Zgodnie z informacja otrzymaną od Klienta pomiary zostały wykonane przy ustawieniach pochylenia anten zgodnych z pkt. 13, ppkt 2 Rozporządzenia Ministra Klimatu z dnia 17 lutego 2020 roku.

Tabela 1. Anteny sektorowe - dane otrzymane od klienta

Typ anteny	Współrzędne geograficzne	Azymut mechaniczny [°]	Azymut elektryczny [°]	Wysokość środka elektrycznego anten n.p.t. [m]	Pasmo częstotliwości	Zakres pochylenia elektrycznego [°]	Średnie pochylenie anten (ustawione do pomiarów PEM) [°]	Kąt pochylenia mechanicznego [°]	Moc EIRP [W]	Suma EIRP [W]
120325	54°22'00.8"N 18°36'06.8"E	110	110	32,1	1800	1-10	4,0	0	5050	9847
					900	2-12	4,0	0	4797	
120325	54°22'00.8"N 18°36'06.8"E	220	220	46,7	1800	1-10	5,5	0	5050	9847
					900	2-12	5,5	0	4797	
ADU4521R04V06	54°22'00.8"N 18°36'06.8"E	110	110	32,1	2600	1-7	4,0	0	16463	16463
ADU4521R04V06	54°22'00.8"N 18°36'06.8"E	220	220	46,7	2600	1-7	5,5	0	16463	16463
B-65B-R1VB	54°22'00.8"N 18°36'06.8"E	0	0	36,7	420	0-14	7,0	0	804	804
B-65B-R1VB	54°22'00.8"N 18°36'06.8"E	120	120	46,7	420	0-14	7,0	0	804	804
B-65B-R1VB	54°22'00.8"N 18°36'06.8"E	240	240	52,5	420	0-14	7,0	0	804	804

„Bez pisemnej zgody Laboratorium niniejsze sprawozdanie nie może być powielane inaczej, jak tylko w całości. Ponadto wyniki dotyczą tylko badanych obiektów przywołanych w niniejszym sprawozdaniu z badań”

Tabela 2. Anteny radioliniowe- dane otrzymane od klienta

Typ anteny	Współrzędne geograficzne	Azymut [°]	Średnica [m]	Pasmo częstotliwości [GHz]	Zysk energetyczny [dBi]	Moc wyjściowa nadajnika [dBm]	EIRP [W]	Wysokość środka elektrycznego anten n.p.t. [m]
ANT2 A 0.6 80 HP	54°22'00.8"N 18°36'06.8"E	152	0,6	80	50,5	8	707,95	66,1
ANT2 A 0.6 80 HP	54°22'00.8"N 18°36'06.8"E	166	0,6	80	50,5	10	1122,02	64,8
VHLP1-80	54°22'00.8"N 18°36'06.8"E	196	0,3	80	43,5	5	70,80	66,9
VHLP1-80	54°22'00.8"N 18°36'06.8"E	227	0,3	80	43,5	0	19,95	65,4

6. Wyniki pomiarów.

Wyniki pomiarów pól elektromagnetycznych dla celów ochrony środowiska przedstawia poniższa tabela. Piony pomiarowe zostały przedstawione w zał. 2.

Nr PP	Pole-E [V/m]	Pole-E, +U [V/m]	Pole-H [A/m]	Pole-H +U [A/m]	Wys. pomiaru [m]	Opis pionu	Uwagi	WM_E	WM_H
1	1,3	2,07	0,003	0,005	0,3-2,0	N:54°22'03.8" E:18°36'06.8"	otoczenie stacji bazowej - 100m wzdłuż gł. osi promieniowania - GKP	0,074	0,075
2	0,7*	1,28	0,002	0,003	0,3-2,0	N:54°22'05.5" E:18°36'06.9"	otoczenie stacji bazowej - 150m wzdłuż gł. osi promieniowania - GKP	0,046	0,046
3	0,7*	1,28	0,002	0,003	0,3-2,0	N:54°22'08.5" E:18°36'06.8"	otoczenie stacji bazowej - 250m wzdłuż gł. osi promieniowania - GKP	0,046	0,046
4	0,7*	1,28	0,002	0,003	0,3-2,0	N:54°22'10.2" E:18°36'06.7"	otoczenie stacji bazowej - 300m wzdłuż gł. osi promieniowania - GKP	0,046	0,046
5	0,7*	1,28	0,002	0,003	0,3-2,0	N:54°22'12.3" E:18°36'06.6"	otoczenie stacji bazowej - 350m wzdłuż gł. osi promieniowania - GKP	0,046	0,046
6	1,1	1,75	0,003	0,005	0,3-2,0	N:54°21'59.9" E:18°36'09.6"	otoczenie stacji bazowej - 50m wzdłuż gł. osi promieniowania - GKP	0,063	0,064
7	1,0	1,59	0,003	0,004	0,3-2,0	N:54°21'59.5" E:18°36'12.1"	otoczenie stacji bazowej - 100m wzdłuż gł. osi promieniowania - GKP	0,057	0,058
8	0,7*	1,28	0,002	0,003	0,3-2,0	N:54°21'58.9" E:18°36'14.9"	otoczenie stacji bazowej - 150m wzdłuż gł. osi promieniowania - GKP	0,046	0,046
9	0,7*	1,28	0,002	0,003	0,3-2,0	N:54°21'58.5" E:18°36'17.9"	otoczenie stacji bazowej - 200m wzdłuż gł. osi promieniowania - GKP	0,046	0,046
10	0,7*	1,28	0,002	0,003	0,3-2,0	N:54°21'57.9" E:18°36'20.9"	otoczenie stacji bazowej - 250m wzdłuż gł. osi promieniowania - GKP	0,046	0,046
11	0,7	1,28	0,002	0,003	0,3-2,0	N:54°21'57.1" E:18°36'23.9"	otoczenie stacji bazowej - 320m wzdłuż gł. osi promieniowania - GKP	0,046	0,046
12	1,0	1,59	0,003	0,004	0,3-2,0	N:54°21'58.7" E:18°36'11.8"	otoczenie stacji bazowej - 100m wzdłuż gł. osi promieniowania - GKP	0,057	0,058
13	0,7*	1,28	0,002	0,003	0,3-2,0	N:54°21'57.0" E:18°36'16.5"	otoczenie stacji bazowej - 200m wzdłuż gł. osi promieniowania - GKP	0,046	0,046
14	0,7*	1,28	0,002	0,003	0,3-2,0	N:54°21'55.5" E:18°36'21.6"	otoczenie stacji bazowej - 300m wzdłuż gł. osi promieniowania - GKP	0,046	0,046
15	0,7*	1,28	0,002	0,003	0,3-2,0	N:54°21'54.5" E:18°36'23.7"	otoczenie stacji bazowej - 350m wzdłuż gł. osi promieniowania - GKP	0,046	0,046
16	1,0	1,59	0,003	0,004	0,3-2,0	N:54°21'53.7" E:18°36'26.3"	otoczenie stacji bazowej - 400m wzdłuż gł. osi promieniowania - GKP	0,057	0,058
17	1,6	2,55	0,004	0,007	0,3-2,0	N:54°21'59.2" E:18°36'05.3"	otoczenie stacji bazowej - 50m wzdłuż gł. osi promieniowania - GKP	0,091	0,093
18	0,9	1,43	0,002	0,004	0,3-2,0	N:54°21'57.9" E:18°36'03.3"	otoczenie stacji bazowej - 100m wzdłuż gł. osi promieniowania - GKP	0,051	0,052
19	1,5	2,39	0,004	0,006	0,3-2,0	N:54°21'56.7" E:18°36'01.4"	otoczenie stacji bazowej - 150m wzdłuż gł. osi promieniowania - GKP	0,085	0,087
20	1,4	2,23	0,004	0,006	0,3-2,0	N:54°21'54.0" E:18°35'58.1"	otoczenie stacji bazowej - 250m wzdłuż gł. osi promieniowania - GKP	0,080	0,081
21	0,7*	1,28	0,002	0,003	0,3-2,0	N:54°21'51.5" E:18°35'53.9"	otoczenie stacji bazowej - 360m wzdłuż gł. osi promieniowania - GKP	0,046	0,046

„Bez pisemnej zgody Laboratorium niniejsze sprawozdanie nie może być powielane inaczej, jak tylko w całości. Ponadto wyniki dotyczą tylko badanych obiektów przywołanych w niniejszym sprawozdaniu z badań”

Nr PP	Pole-E [V/m]	Pole-E, +U [V/m]	Pole-H [A/m]	Pole-H +U [A/m]	Wys. pomiaru [m]	Opis pionu	Uwagi	WM_E	WM_H
22	0,7*	1,28	0,002	0,003	0,3-2,0	N:54°21'48.9" E:18°35'50.8"	otoczenie stacji bazowej - 460m wzdłuż gł. osi promieniowania - GKP	0,046	0,046
23	2,3	3,67	0,006	0,010	0,3-2,0	N:54°21'59.7" E:18°36'04.6"	otoczenie stacji bazowej - 50m wzdłuż gł. osi promieniowania - GKP	0,131	0,133
24	1,3	2,07	0,003	0,005	0,3-2,0	N:54°21'58.7" E:18°36'01.9"	otoczenie stacji bazowej - 100m wzdłuż gł. osi promieniowania - GKP	0,074	0,075
25	0,7*	1,28	0,002	0,003	0,3-2,0	N:54°21'57.9" E:18°35'59.9"	otoczenie stacji bazowej - 150m wzdłuż gł. osi promieniowania - GKP	0,046	0,046
26	0,7*	1,28	0,002	0,003	0,3-2,0	N:54°21'56.8" E:18°35'56.7"	otoczenie stacji bazowej - 200m wzdłuż gł. osi promieniowania - GKP	0,046	0,046
27	0,7*	1,28	0,002	0,003	0,3-2,0	N:54°21'59.4" E:18°35'54.9"	otoczenie stacji bazowej - 250m wzdłuż gł. osi promieniowania - GKP	0,046	0,046
28	0,7*	1,28	0,002	0,003	0,3-2,0	N:54°21'55.4" E:18°35'52.5"	otoczenie stacji bazowej - 300m wzdłuż gł. osi promieniowania - GKP	0,046	0,046
29	0,7*	1,28	0,002	0,003	0,3-2,0	N:54°21'54.8" E:18°35'50.2"	otoczenie stacji bazowej - 350m wzdłuż gł. osi promieniowania - GKP	0,046	0,046
30	0,9	1,43	0,002	0,004	0,3-2,0	N:54°21'54.0" E:18°35'47.6"	otoczenie stacji bazowej - 400m wzdłuż gł. osi promieniowania - GKP	0,051	0,052
31	1,0	1,59	0,003	0,004	0,3-2,0	N:54°21'53.2" E:18°35'45.6"	otoczenie stacji bazowej - 450m wzdłuż gł. osi promieniowania - GKP	0,057	0,058
32	0,7*	1,28	0,002	0,003	0,3-2,0	N:54°21'57.6" E:18°36'09.2"	otoczenie stacji bazowej - 100m wzdłuż gł. osi promieniowania - GKP	0,046	0,046
33	0,7*	1,28	0,002	0,003	0,3-2,0	N:54°21'57.5" E:18°36'07.6"	otoczenie stacji bazowej - 100m wzdłuż gł. osi promieniowania - GKP	0,046	0,046
34	0,7*	1,28	0,002	0,003	0,3-2,0	N:54°21'57.3" E:18°36'05.3"	otoczenie stacji bazowej - 100m wzdłuż gł. osi promieniowania - GKP	0,046	0,046
35	0,7*	1,28	0,002	0,003	0,3-2,0	N:54°22'00.7" E:18°36'01.9"	otoczenie stacji bazowej -PKP	0,046	0,046
36	0,7*	1,28	0,002	0,003	0,3-2,0	N:54°22'02.8" E:18°36'04.5"	otoczenie stacji bazowej -PKP	0,046	0,046
37	0,7*	1,28	0,002	0,003	0,3-2,0	N:54°22'02.7" E:18°36'08.9"	otoczenie stacji bazowej -PKP	0,046	0,046
38	0,7*	1,28	0,002	0,003	0,3-2,0	N:54°22'00.8" E:18°36'09.9"	otoczenie stacji bazowej -PKP	0,046	0,046
A	1,6	2,55	0,004	0,007	0,3-2,0	N:54°22'55.5" E:18°35'59.9"	Raciborskiego 105b, pomiar przed posesją -DPP	0,091	0,093
A1	2,1	3,35	0,006	0,009	0,3-2,0	N:54°22'00.4" E:18°36'06.4"	Migowska 15, pomiar w otworze okiennym, parter -DPP	0,120	0,122
B	1,4	2,23	0,004	0,006	0,3-2,0	N:54°21'52.7" E:18°35'55.8"	Migowska 129/127, pomiar w otworze okiennym, piętro 1 -DPP	0,080	0,081
	0,7*	1,28	0,002	0,003	0,3-2,0		Migowska 129/127, pomiar w otworze okiennym, parter -DPP	0,046	0,046
C	1,2	1,91	0,003	0,005	0,3-2,0	N:54°21'51.2" E:18°35'53.7"	Czubińskiego 3, pomiar w otworze okiennym, piętro 4 -DPP	0,068	0,070
	0,7*	1,28	0,002	0,003	0,3-2,0		Czubińskiego 3, pomiar w otworze okiennym, piętro 3 -DPP	0,046	0,046
D	0,7*	1,28	0,002	0,003	0,3-2,0	N:54°21'49.4" E:18°35'51.5"	Myczkowskiego 7, pomiar w otworze okiennym, piętro 3, mieszkania 7 -DPP	0,046	0,046
	0,7*	1,28	0,002	0,003	0,3-2,0		Myczkowskiego 7, pomiar w otworze okiennym, piętro 2, mieszkania 6 -DPP	0,046	0,046
E	0,7*	1,28	0,002	0,003	0,3-2,0	N:54°21'48.8" E:18°35'50.2"	Myczkowskiego 5, pomiar w otworze okiennym, piętro 2 -DPP	0,046	0,046
	0,7*	1,28	0,002	0,003	0,3-2,0		Myczkowskiego 5, pomiar w otworze okiennym, parter -DPP	0,046	0,046
F	0,9	1,43	0,002	0,004	0,3-2,0	N:54°21'51.1" E:18°35'41.8"	Migowska 57b, pomiar w otworze okiennym, piętro 1 -DPP	0,051	0,052
	1,0	1,59	0,003	0,004	0,3-2,0		Migowska 57b, pomiar w otworze okiennym, parter -DPP	0,057	0,058
F1	0,8	1,28	0,002	0,003	0,3-2,0	N:54°21'54.6" E:18°35'49.8"	Raciborskiego 101, pomiar w otworze okiennym, piętro 1 -DPP	0,046	0,046
	0,7*	1,28	0,002	0,003	0,3-2,0		Raciborskiego 101, pomiar w otworze okiennym, parter -DPP	0,046	0,046

„Bez pisemnej zgody Laboratorium niniejsze sprawozdanie nie może być powielane inaczej, jak tylko w całości. Ponadto wyniki dotyczą tylko badanych obiektów przywołanych w niniejszym sprawozdaniu z badań”

Nr PP	Pole-E [V/m]	Pole-E, +U [V/m]	Pole-H [A/m]	Pole-H +U [A/m]	Wys. pomiaru [m]	Opis pionu	Uwagi	WM_E	WM_H
G	0,8	1,28	0,002	0,003	0,3-2,0	N:54°21'52.9" E:18°36'29.2"	Wileńska 12/10, pomiar przed posesją -DPP	0,046	0,046

Wynik pomiaru pole - E [V/m] - maksymalna wartość chwilowa zmierzona w danym pionie pomiarowym (uśredniona na podstawie punktu 11 załącznika do Rozporządzenia Ministra Klimatu z dnia 17 lutego 2020 r. w sprawie sposobów sprawdzania dotrzymania dopuszczalnych poziomów pól elektromagnetycznych w środowisku (Dz.U. 2022 poz. 2630)). Zgodnie z pkt. 7 załącznika do Rozporządzenia Ministra Klimatu z dnia 17 lutego 2020 r. w sprawie sposobów sprawdzania dotrzymania dopuszczalnych poziomów pól elektromagnetycznych w środowisku (Dz.U. 2022 poz. 2630) nie stosuje się poprawek pomiarowych.

Przyjęto najniższą dopuszczalną wartość składowej elektrycznej pola dla objętego pomiarami zakresu częstotliwości min(ME_{gr})= 28 V/m oraz składowej magnetycznej min(MH_{gr})= 0,073 A/m.

* - wartość zmierzona poniżej zakresu akredytacji. Do obliczeń przyjęto wartość zgodną z dolną granicą akredytowanego zakresu pomiarowego metody.

GKP - główne kierunki pomiarowe

PKP - pomocnicze kierunki pomiarowe

DPP - dodatkowe punkty pomiarowe

PP - pion pomiarowy

U - niepewność pomiarowa rozszerzona, przy poziomie ufności 95%, z uwzględnieniem współczynnika rozszerzenia k=2

WM_E - wartość wskaźnikowa poziomu emisji pól elektromagnetycznych dla miejsc dostępnych dla ludności dla składowej elektrycznej pola

WM_H - wartość wskaźnikowa poziomu emisji pól elektromagnetycznych dla miejsc dostępnych dla ludności dla składowej magnetycznej pola

7. Stwierdzenie zgodności

Na podstawie wytycznych podanych w Rozporządzeniu Ministra Zdrowia z dnia 17 grudnia 2019 r. w sprawie dopuszczalnych poziomów pól elektromagnetycznych w środowisku (Dz.U. 2019 poz. 2448) oraz sposobów sprawdzania dotrzymania tych poziomów zgodnie z Rozporządzeniem Ministra Klimatu z dnia 17 lutego 2020 r. w sprawie sposobów sprawdzania dotrzymania dopuszczalnych poziomów pól elektromagnetycznych w środowisku (Dz.U. 2022 poz. 2630), dotyczących źródła wymagań, które muszą być spełnione, w oparciu o zasadę podejmowania decyzji zgodną z pkt. 26 Rozporządzenia Ministra Klimatu z dnia 17 lutego 2020 r. (Dz.U. 2022 poz. 2630), na podstawie wyników pomiarów pól elektromagnetycznych wykonanych w dniu 21.12.2023 stwierdzono, że wszystkie wyniki przeprowadzonych pomiarów w danym obszarze pomiarowym oraz wyznaczone na tej postawie wskaźniki WME oraz WMH są mniejsze od wartości dopuszczalnych – zgodnie z przepisami wydanymi na podstawie art. 122 ust. 1 ustawy z dnia 27 kwietnia 2001 r. – Prawo ochrony środowiska – załącznikiem do Rozporządzenia Ministra Klimatu i Środowiska z dnia 17 lutego 2020 r. w sprawie sposobów sprawdzania dotrzymywania dopuszczalnych poziomów pól elektromagnetycznych w środowisku (Dz.U. 2022 poz. 2630, pkt 26).

8. Oświadczenie.

Wyniki badania odnoszą się wyłącznie do badanego obiektu.
Bez pisemnej zgody sprawozdanie nie może być powielane inaczej, jak tylko w całości.
Uwagi i zastrzeżenia przyjmowane są w formie pisemnej.

9. Spis załączników.

Zał. 1. Lokalizacja obiektu.
Zał. 2. Widok pionów pomiarowych
Zał. 3. Załączniki graficzne

Koniec sprawozdania

Zał. 1. Lokalizacja obiektu

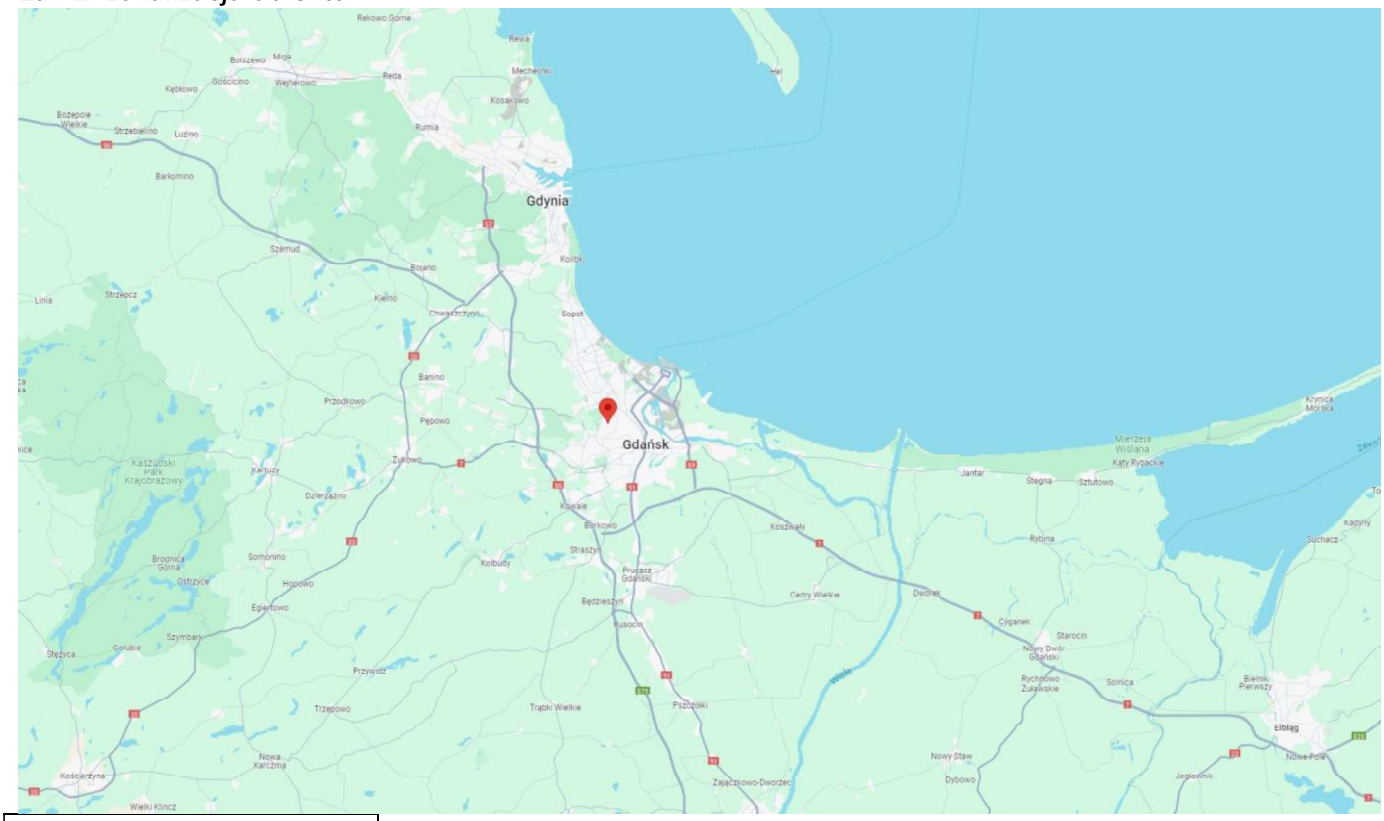

Współrzędne geograficzne	
długość:	18°36'06.8"E
szerokość:	54°22'00.8"N

„Bez pisemnej zgody Laboratorium niniejsze sprawozdanie nie może być powielane inaczej, jak tylko w całości. Ponadto wyniki dotyczą tylko badanych obiektów przywołanych w niniejszym sprawozdaniu z badań”

Zał. 2. Widok pionów pomiarowych

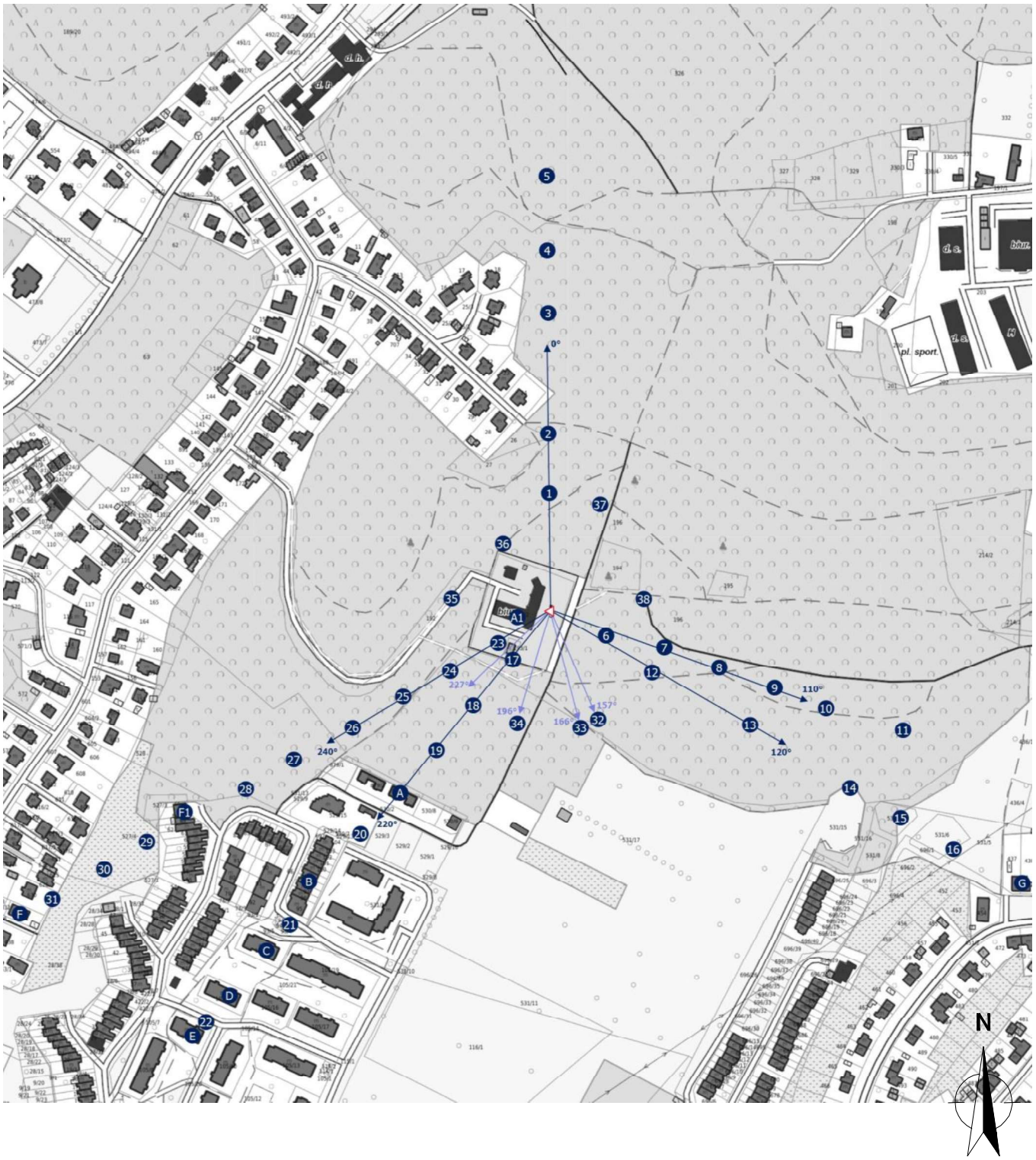

LEGENDA:

- inna instalacja telekomunikacyjna
- instalacja telekomunikacyjna dla której wykonywano pomiar
- brak dostępu
- nr pion pomiaru
- antena sektorowa
- antena radioliowa

Skala: 1:6000

0 75 150m

„Bez pisemnej zgody Laboratorium niniejsze sprawozdanie nie może być powielane inaczej, jak tylko w całości. Ponadto wyniki dotyczą tylko badanych obiektów przywołanych w niniejszym sprawozdaniu z badań”

Zał. 3. Załączniki graficzne.



„Bez pisemnej zgody Laboratorium niniejsze sprawozdanie nie może być powielane inaczej, jak tylko w całości. Ponadto wyniki dotyczą tylko badanych obiektów przywołanych w niniejszym sprawozdaniu z badań”